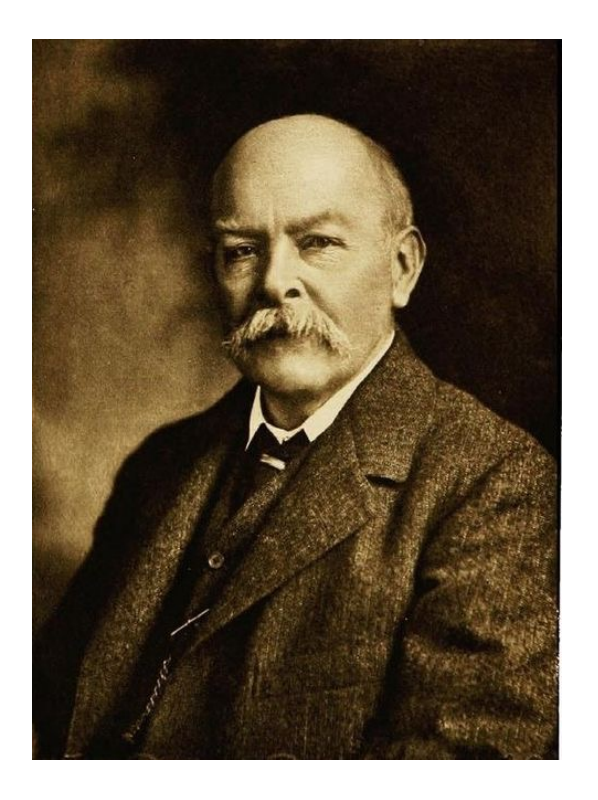
Physique Avancée IV

Semestre de printemps 2024

Semaine 8 18 et 19 avril 2024

- 2.1.4 Énergie d'une onde EM
- 2.1.5 Quantité de mouvement d'une onde EM
- 2.1.6 Génération des ondes EM
 - 2.1.6.1 Les potentiels retardées
 - 2.1.6.2 Oscillateur de Hertz

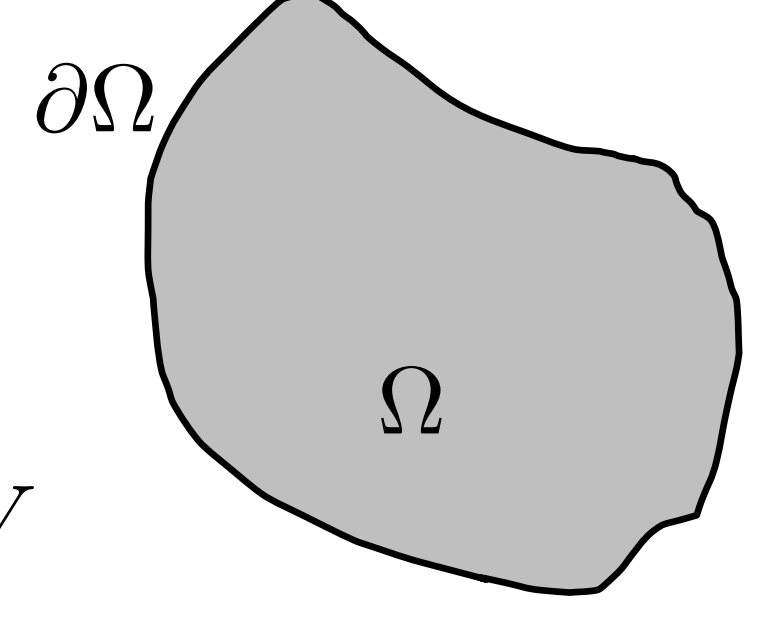


John Henry Poynting (1852 - 1914)

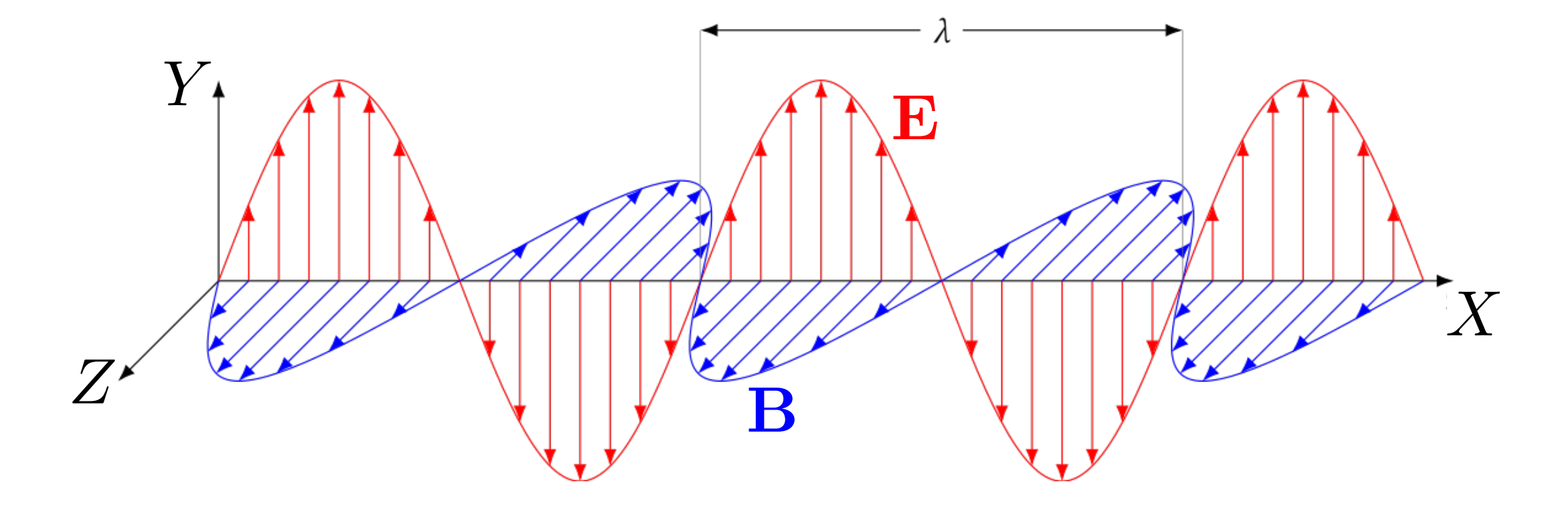
2.1.4 Énergie d'une onde EM

$$w = \frac{1}{2}\mathbf{H} \cdot \mathbf{B} + \frac{1}{2}\mathbf{E} \cdot \mathbf{D}$$

$$\frac{\partial}{\partial t} \int_{\Omega} w dV = -\oint_{\partial \Omega} \mathbf{S} \cdot \mathbf{n} dA - \int_{\Omega} \mathbf{E} \cdot \mathbf{J} dV$$



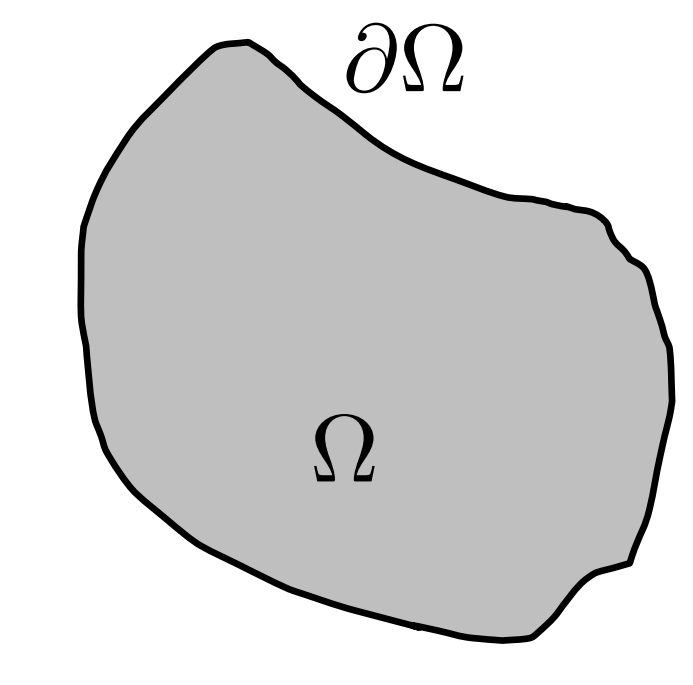
Vecteur de Poynting : $S = E \times H$



2.1.4 Quantité de mouvement d'une onde EM

$$\frac{d\mathbf{P}}{dt} = \int_{\Omega} (\rho \mathbf{E} + \mathbf{J} \times \mathbf{B}) dV = -\frac{d\mathbf{G}}{dt} + \int_{\partial \Omega} \sum_{\alpha, \beta} T_{\alpha, \beta} n_{\beta} \mathbf{u}_{\alpha} dA$$

$$\mathbf{G} = \int_{\Omega} \mathbf{g} dV, \quad \mathbf{g} = \mathbf{D} \times \mathbf{B} = \frac{1}{c^2} \mathbf{S} \quad \text{densit\'e de la quantit\'e de mouvement de champ E.M.}$$



$$T_{lphaeta}=E_{lpha}D_{eta}+H_{lpha}B_{eta}-rac{1}{2}\delta_{lphaeta}\sum_{\gamma}(E_{\gamma}D_{\gamma}+H_{\gamma}B_{\gamma})$$
 tenseur des contrainte de Maxwell

Système isolé:
$$\frac{d\mathbf{P}}{dt} + \frac{d\mathbf{G}}{dt} = 0$$

Potentiel vecteur et scalaire

$$\nabla^2 \mathbf{A} - \frac{1}{c^2} \frac{\partial^2 \mathbf{A}}{\partial t^2} = -\mu_0 \mathbf{J}$$

$$\nabla^2 V - \frac{1}{c^2} \frac{\partial^2 V}{\partial t^2} = -\frac{\rho}{\epsilon}$$

$$\mathbf{E} = -\left(
abla V + rac{\partial \mathbf{A}}{\partial t}
ight)$$
 , $\mathbf{B} =
abla imes \mathbf{A}$

Condition de Lorentz:
$$\nabla \cdot \mathbf{A} + \frac{1}{c^2} \frac{\partial V}{\partial t} = 0$$

Potentiel vecteur et scalaire

$$\nabla^2 \mathbf{A} - \frac{1}{c^2} \frac{\partial^2 \mathbf{A}}{\partial t^2} = -\mu_0 \mathbf{J}$$

$$\nabla^2 V - \frac{1}{c^2} \frac{\partial^2 V}{\partial t^2} = -\frac{\rho}{\epsilon}$$

$$\mathbf{E} = -\left(
abla V + rac{\partial \mathbf{A}}{\partial t}
ight)$$
 , $\mathbf{B} =
abla imes \mathbf{A}$

Condition de Lorentz:
$$\nabla \cdot \mathbf{A} + \frac{1}{c^2} \frac{\partial V}{\partial t} = 0$$

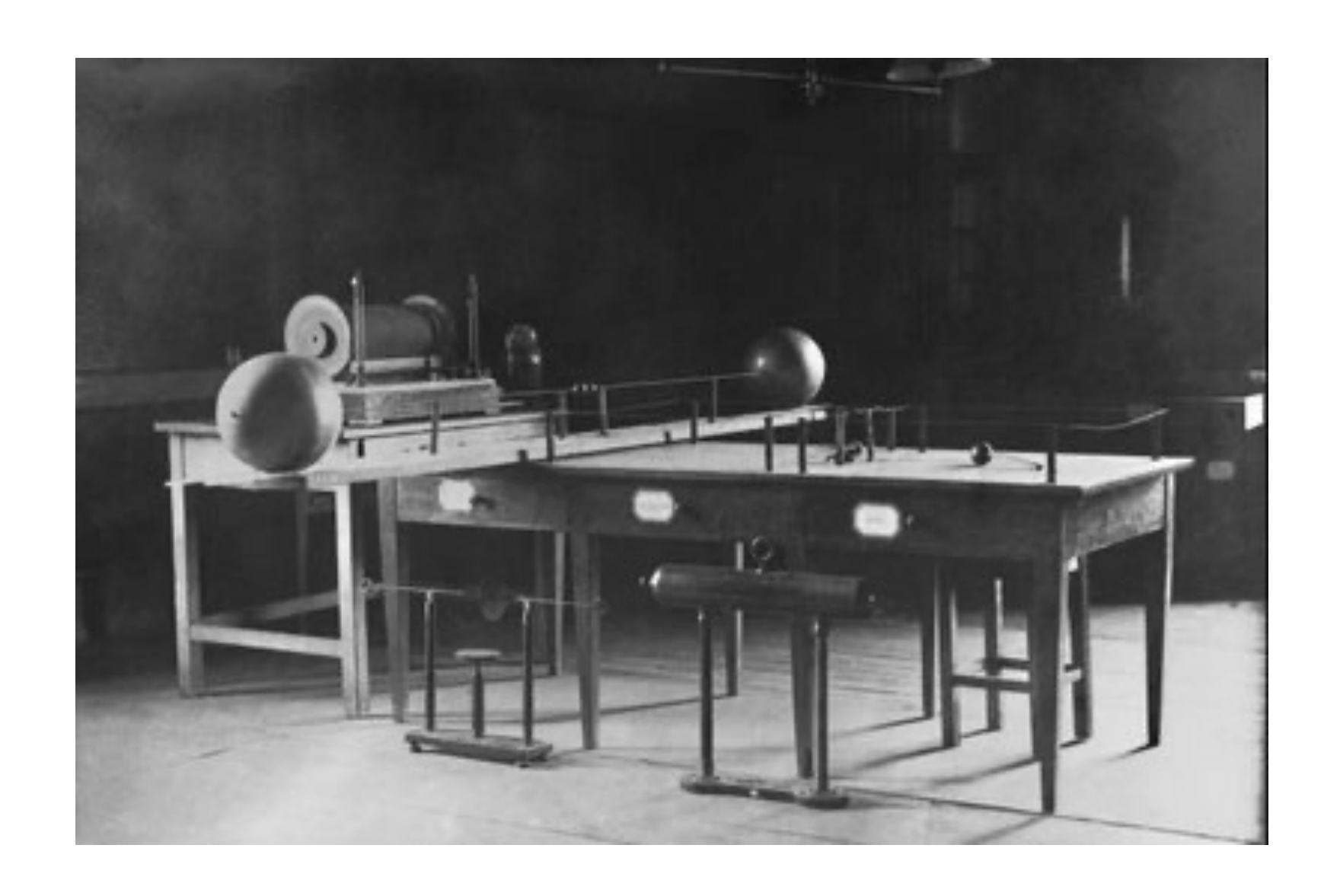
2.1.6.1 Les potentiels retardées

$$V(\mathbf{r},t) = \frac{1}{4\pi\epsilon_0} \int_{\Omega} \frac{\rho(\mathbf{r}', t - R/c)}{R} d\Omega$$

$$\mathbf{A}(\mathbf{r},t) = \frac{\mu_0}{4\pi} \int_{\Omega} \frac{\mathbf{J}(\mathbf{r}',t-R/c)}{R} d\Omega$$

$$R = \|\mathbf{r} - \mathbf{r}'\|$$

2.1.6.2 Oscillateur de Hertz



 (ρ, θ, ϕ) : Scalar function F; Vector field $\mathbf{f} = f_{\rho}\mathbf{e}_{\rho} + f_{\theta}\mathbf{e}_{\theta} + f_{\phi}\mathbf{e}_{\phi}$

• gradient :
$$\nabla F = \frac{\partial F}{\partial \rho} \mathbf{e}_{\rho} + \frac{1}{\rho \sin \phi} \frac{\partial F}{\partial \theta} \mathbf{e}_{\theta} + \frac{1}{\rho} \frac{\partial F}{\partial \phi} \mathbf{e}_{\phi}$$

• divergence :
$$\nabla \cdot \mathbf{f} = \frac{1}{\rho^2} \frac{\partial}{\partial \rho} (\rho^2 f_\rho) + \frac{1}{\rho} \sin \phi \frac{\partial f_\theta}{\partial \theta} + \frac{1}{\rho \sin \phi} \frac{\partial}{\partial \phi} (\sin \phi f_\theta)$$

• curl :
$$\nabla \times \mathbf{f} = \frac{1}{\rho \sin \phi} \left(\frac{\partial}{\partial \phi} (\sin \phi f_{\theta}) - \frac{\partial f_{\phi}}{\partial \theta} \right) \mathbf{e}_{\rho} + \frac{1}{\rho} \left(\frac{\partial}{\partial \rho} (\rho f_{\phi}) - \frac{\partial f_{\rho}}{\partial \phi} \right) \mathbf{e}_{\theta} + \left(\frac{1}{\rho \sin \phi} \frac{\partial f_{\rho}}{\partial \theta} - \frac{1}{\rho} \frac{\partial}{\partial \rho} (\rho f_{\theta}) \right) \mathbf{e}_{\phi}$$

• Laplacian :
$$\Delta F = \frac{1}{\rho^2} \frac{\partial}{\partial \rho} \left(\rho^2 \frac{\partial F}{\partial \rho} \right) + \frac{1}{\rho^2 \sin^2 \phi} \frac{\partial^2 F}{\partial \theta^2} + \frac{1}{\rho^2 \sin \phi} \frac{\partial}{\partial \phi} \left(\sin \phi \frac{\partial F}{\partial \phi} \right)$$

Série 7

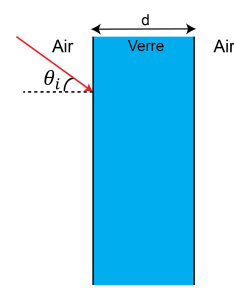
Cours de physique IV - Prof. Paolo Ricci - SPC

19 avril 2024

Série 7 : Interférences et diffraction

1 Interferométrie de Fabry-Perot

Un interferomètre de Fabry-Parot est un instrument optique composé de 2 miroirs semi-réflechissants. Il permet de laisser passer uniquement les longueurs d'onde de la lumière incidente qui sont en résonance avec la cavité optique formée par les 2 miroirs. Dans cet exercice, on se propose d'étudier la figure d'interférences de cet interféromètre et déduire certaines de ces propriétés. Pour simplifier l'analyse, on considère une onde chromatique incidente sur une lame de verre de largeur d et d'indice de réfraction n avec un angle incident θ_i par rapport à la normale. Le premier rayon incident est réfracté avec un angle θ_r .



- (a) Expliquer avec un diagramme comment se comporte le rayon lumineux incident dans la lame de verre, puis en sortie de l'autre côté de la lame de verre. Pour deux rayons successif en sortie, calculer la différence de marche delta et en déduire la différence de phase $\Delta \phi$ entre deux rayons réfractés par les 2 miroirs en fonction de θ .
- (b) On suppose que le coefficient de réflexion à l'interface verre-air est égal à R<1. Calculer l'amplitude $s_n(\Delta\phi)$ de chaque refraction en sortie de l'interféromètre. En déduire l'intensité total s_{tot} .
- (c) Montrer que la transmittance est donnée par l'expression :

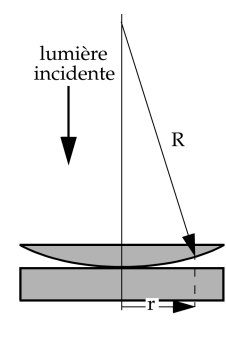
$$T(\theta_r) = \frac{1}{1 + \frac{4R}{(1-R)^2} \sin^2 \frac{\Delta \phi(\theta_r)}{2}}$$

(d) Donner les conditions pour avoir un maximum la transmittance et dessiner la transmittance pour un angle θ_r fixe en fonction de $\Delta\phi$ puis de λ . Que remarque-t-on? En déduire une application de l'interferomètre de Fabry-Perot.

2 Anneaux de Newton

Une lentille optique plan-convexe, posée sur une plaque de verre, est illuminée par une onde monochromatique. On suppose que l'épaisseur d de la couche d'air sous la lentille est négligeable par rapport au rayon R, i.e $d \ll R \ \forall r$.

(a) En utilisant l'approximation citée ci-dessus, déterminer l'épaisseur d(r) de la couche d'aire sous la lentille. Sous cette hypothèse, la surface de la lentille peut être approximée comme parallèle à la plaque de verre. Décrire le comportement d'un faisceau incident réfléchi aux différents interfaces.



- (b) Montrer qu'un observateur placé au-dessus de la lentille observe des interférences qui se manifestent par des anneaux concentriques alternativement sombres et clairs appelés Anneaux de Newton. Déterminer le rayon r_m du m i-ème anneau sombre ainsi que la loi décrivant l'augmentation du rayon entre deux anneaux sombres consécutifs.
- (c) Quelle est l'aire séparant deux anneaux sombres ; dépend-elle de m?
- (d) Déterminer la loi décrivant le rayon r'_m de la même interférence constructive.

Indication : Lors de la propagation de la lumière d'un milieu 1 à un milieu 2 sous incidence normale, le champ électromagnétique transmis n'est pas déphasé et le champ électromagnétique réfléchi subit un déphasage de 180° si $n_1 < n_2$ et de 0° si $n_1 > n_2$.

3 Pression de radiation

Dans cet exercice, on s'intéresse à dériver l'expression de la pression de radiation par 2 approches différentes.

On considère une onde électromagnétique plane progressive se propageant dans le vide et incidente sur une surface plane en x=0.

$$\vec{E}_i = Re\left(E_{0,i}e^{i(kx-\omega t)}\vec{e}_y\right) = E_{0,i}\cos(kx-\omega t)\vec{e}_y$$

En x=0, on suppose que la surface plane correspond à un miroir métallique, parfaitement conducteur. Les conditions aux bords imposent que, en x=0, les champs \vec{E} et \vec{B} sont nuls. Ceci implique donc une onde électromagnétique réflechie

$$\vec{E}_r = Re\left(E_{0,r}e^{i(kx+\omega t)}\vec{e}_y\right) = E_{0,r}\cos(kx+\omega t)\vec{e}_y$$

- (a) Déterminer l'amplitude E_{0,r} en fonction de E_{0,i}. Donner une expression pour les champs électrique et magnétique \(\vec{E}\) et \(\vec{B}\) résultants pour \(x < 0\). Calculer la valeur moyenne du vecteur de Poynting \(\vec{G}\), ainsi que la densité volumique d'énergie moyenne de l'onde électromagnétique.</p>
- (b) Déterminer la charge surfacique σ et le courant surfacique $\vec{J_s}$ en x=0 Indication Les conditions de bord à l'interface entre 2 milieux s'écrivent :

$$\begin{split} (\vec{D}_2 - \vec{D}_1)_{\perp} &= \sigma \qquad (\vec{E}_2 - \vec{E}_1)_{\parallel} = 0 \\ (\vec{B}_2 - \vec{B}_1)_{\perp} &= 0 \qquad (\vec{H}_2 - \vec{H}_1)_{\parallel} \cdot (\vec{t} \times \vec{n}) = \vec{J}_s \cdot \vec{t} \end{split}$$

où \vec{n} est le vecteur normal à la surface, en direction du matériau 2, et \vec{t} un vecteur tangeant à la surface

(c) L'expression de la force résultante est donnée par :

$$d\vec{F} = \frac{1}{2}\sigma\vec{E} + \vec{J}_s \times \vec{B})dS,$$

où dS est un petit élément de surface. Donner une explication pour le terme 1/2. En déduire que l'onde exerce une pression P sur le miroir dont on calculera la valeur moyenne $\langle P \rangle$ en fonction de la densité volumique moyenne d'énergie $\langle u_v \rangle$ de l'onde incidente, puis de la densité volumique moyenne d'énergie $\langle u_{v,tot} \rangle$ de l'onde totale

Dans un second temps, l'expression de la pression de radiation peut être également dérivée en considérant la nature corpusculaire de la lumière. Pour la suite de l'exercice

- (d) En utilisant la relation $E=c|\vec{p}|=hf$, déterminer l'expression de la pression de radiation produite en fonction de P et de la distance r de la surface considérée par rapport à la source.
- (e) Déterminer le rayon limite R_{lim} d'une sphère métallique pour lequel celle-ci pourrait être éjectée du système solaire, en tenant compte de la pression de radiation. On suppose que la soleil émet un rayonnement avec une pression de radiation P. La section efficace de la sphère est donnée par \(\pi R^2\).

